

## 亚微米级红色荧光粉 $\text{NaEu}(\text{MoO}_4)_2$ 的水热合成及光谱特性

张 艳<sup>1</sup> 宫慧丽<sup>1</sup> 石士考<sup>\*1</sup> 周 济<sup>2</sup> 叶建平<sup>3</sup>

(<sup>1</sup> 河北师范大学化学与材料科学学院, 石家庄 050016)

(<sup>2</sup> 清华大学材料科学与工程系, 北京 100084)

(<sup>3</sup> 中国科学院化学研究所光化学重点实验室, 北京 100080)

关键词: 荧光粉;  $\text{Eu}^{3+}$ ; 水热合成; 钼酸盐

中图分类号: O612.1; O614.6; O614.33

文献标识码: A

文章编号: 1001-4861(2009)03-0563-04

### Hydrothermal Synthesis and Spectral Properties of $\text{NaEu}(\text{MoO}_4)_2$ Red Submicro-Phosphors

ZHANG Yan<sup>1</sup> GONG Hui-Li<sup>1</sup> SHI Shi-Kao<sup>\*1</sup> ZHOU Ji<sup>2</sup> YE Jian-Ping<sup>3</sup>

(<sup>1</sup>College of Chemistry & Materials Science, Hebei Normal University, Shijiazhuang 050016)

(<sup>2</sup>Department of Materials Science & Engineering, Tsinghua University, Beijing 100084)

(<sup>3</sup>The Key Laboratory of Photochemistry, Institute of Chemistry, Chinese Academy of Sciences, Beijing 100080)

**Abstract:** The hyperfine red phosphors,  $\text{NaEu}(\text{MoO}_4)_2$ , were synthesized by hydrothermal and subsequent heat-treatment processes. The  $\text{NaEu}(\text{MoO}_4)_2$  phosphors show regular elliptical morphologies, and the particle sizes of 0.25~0.3  $\mu\text{m}$ . The excitation spectra located at short-wavelength UV region belong to the interweave broad charge transfer bands of  $\text{Mo}^{6+}\text{-O}^{2-}$  and  $\text{Eu}^{3+}\text{-O}^{2-}$ , and the three sharp lines around 395 nm, 465 nm and 535 nm are ascribed to the  $\text{Eu}^{3+}$   $4f$  excitation transitions. All of the samples can be excited with near-UV 395 nm light and exhibit the characteristic red emission of  $\text{Eu}^{3+}$   ${}^5D_0 \rightarrow {}^7F_2$  transition. The relative red emission intensities of the optimum phosphors reach two-fold as compared with that of the commercial phosphors. The submicro-phosphors may be applied as red phosphors for white light emitting diodes.

**Key words:** phosphor;  $\text{Eu}^{3+}$ ; hydrothermal synthesis; molybdate

20世纪90年代,GaN基发光二极管(LED)技术上的突破为白光LED的出现奠定了基础<sup>[1~3]</sup>。白光LED作为一种新型固态照明光源已备受瞩目,它具有光效高,寿命长,无污染等优点<sup>[4,5]</sup>。实现白光LED有多种方案,最理想的是将近紫外LED芯片与可被近紫外有效激发而发射红、绿、蓝三基色荧光体有机结合组成白光LED<sup>[6]</sup>。目前390~410 nm近紫外光

LED已有商品,但是缺少可被这一范围近紫外光有效激发的红色荧光体。商品化的  $\text{Y}_2\text{O}_3:\text{Eu}^{3+}$  红色荧光体在近紫外光激发下,红色发光效率很低。因此研制白光LED用高效红色荧光体成为难点和热点。

近年来,人们发现在一些掺  $\text{Eu}^{3+}$  的具有白钨矿结构的钨钼酸盐中,在近紫外光激发下可以产生高效的红色荧光,它可以用作白光LED的红色荧光体<sup>[7~9]</sup>。一

收稿日期: 2008-11-18。收修改稿日期: 2008-12-23。

国家自然科学基金(No.50472020)、河北省自然科学基金(No.08B012)及河北师大博士基金(No.L2006B15)资助项目。

\*通讯联系人。E-mail: ssk02@mails.tsinghua.edu.cn

第一作者: 张 艳,女,26岁,硕士研究生;研究方向:发光材料。

方面,钨钼酸盐化学性质稳定,在近紫外区有宽而强的电荷转移吸收带,经过激发后其能量可通过无辐射跃迁传递给激活剂离子,是稀土  $\text{Eu}^{3+}$  的良好基质。另一方面, $\text{Eu}^{3+}$  因其特殊的  $4f$  电子组态而具有独特的光谱性质,能发射单色性好、量子效率高的红色荧光<sup>[10~13]</sup>。本课题组曾采用传统的高温固相反应,报导了具有白钨矿结构的  $(\text{Ca}, \text{Eu}, \text{M})(\text{WO}_4)_{1-x}(\text{MoO}_4)_x (\text{M}=\text{Mg}, \text{Zn})$  钨钼酸盐在 395 nm 激发下,具有很高的发光效率,但产品的粒径较大而且团聚现象严重<sup>[14]</sup>。本工作采用水热法制备了同样具有白钨矿结构的  $\text{NaEu}(\text{MoO}_4)_2$  红色荧光体,不仅明显改善了样品的形貌及粒径大小,而且具有较高的发光强度。

## 1 实验部分

### 1.1 样品制备

采用水热反应法,首先将  $\text{Eu}_2\text{O}_3$ (99.99%,北京有色研究院)溶于硝酸制成  $\text{Eu}(\text{NO}_3)_3$  溶液( $0.2 \text{ mol}\cdot\text{L}^{-1}$ ),将  $\text{Na}_2\text{MoO}_4\cdot 2\text{H}_2\text{O}$ (分析纯,天津市化学试剂四厂)溶于去离子水配制成  $\text{Na}_2\text{MoO}_4$  溶液( $0.9 \text{ mol}\cdot\text{L}^{-1}$ )。按照化学计量比将  $\text{Eu}(\text{NO}_3)_3$  溶液滴加到  $\text{Na}_2\text{MoO}_4$  溶液中,形成悬浊液,接着将悬浊液转移至聚四氟乙烯反应釜中,在 220 °C 下进行水热反应,然后将沉淀过滤、洗涤、烘干,得到前驱体,最后将前驱体在 700 或 800 °C 下进行 3 h 煅烧,得到白色粉末样品。

### 1.2 测试条件

采用德国 Bruker D8 ADVANCE 型 X 射线衍射仪(XRD)测定样品的晶体结构,辐射源为 Cu 靶  $K\alpha$  线( $\lambda=0.15406 \text{ nm}$ ),工作电压和工作电流分别为 40 kV 和 150 mA,接收狭缝为 0.6 mm,扫描速度和扫描范围分别为  $6^\circ\cdot\text{min}^{-1}$  及  $10^\circ\sim70^\circ$ 。利用日本日立 S-570 型扫描电子显微镜(SEM)观察样品的形貌和粒径大小,测试加速电压为 20 kV。应用 VARIAN Cary-Eclipse 500 型荧光分光光度计测定样品的荧光光谱,测试时的激发狭缝和发射狭缝均保持为 2.5 nm。用 Edinburgh-FL920 稳态及瞬态荧光光谱仪测定样品的荧光寿命。所有测试均在室温下进行。

## 2 结果与讨论

### 2.1 样品的 XRD 分析

图 1 是水热反应不同时间,经不同温度(700 或 800 °C)煅烧所得  $\text{NaEu}(\text{MoO}_4)_2$  荧光体的 XRD 结果。从图中可以看出,所有样品的特征衍射峰相同,主衍射峰位于  $2\theta=28.6^\circ$  处,其余衍射峰较弱。与 JCPDS

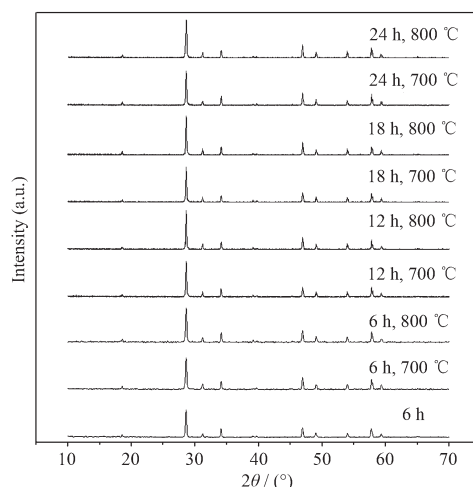


图 1 不同水热时间及煅烧温度所得样品的 XRD 图

Fig.1 XRD patterns of samples with various hydrothermal durations and calcination temperatures

标准卡片 PDF No. 29-0351( $\text{CaWO}_4$ )对照,结果表明它们都具有四方晶系的白钨矿(Scheelite)结构。水热反应所得前驱体已经形成白钨矿结构,但衍射峰强度较弱(图 1 中给出水热反应 6 h 的结果)。经过煅烧后样品的衍射峰强度明显增强。由图 1 还可以观察到,水热反应时间及煅烧温度的不同对样品的结构没有明显影响。

### 2.2 样品的形貌分析

图 2 是水热反应不同时间所得前驱体,经 800 °C 煅烧后样品的扫描电镜照片。

随着水热反应时间的改变,样品形貌发生很大变化。水热反应 6 h 制备的最终产品形貌大多不规则,没有统一的形状,粒径约在  $1 \mu\text{m}$  左右。而当水热反应时间达到 12 h 后,样品形貌呈比较规则的球型或椭圆形,粒度分布较为均匀,粒径约在  $0.25\sim0.3 \mu\text{m}$  之间。随着水热反应时间的进一步延长,样品形貌仍呈较规则的椭圆形,但出现一定的团聚现象。

### 2.3 样品的光谱性质

图 3 是经过不同水热反应时间及煅烧温度条件下制备  $\text{NaEu}(\text{MoO}_4)_2$  的激发光谱( $\lambda_{\text{em}}=615 \text{ nm}$ )。它们的激发光谱形状实质上是相同的,都是由位于 200~350 nm 紫外区的 2 个交叠的宽激发带和分布在 350~550 nm 的长波紫外-可见光区的几组  $\text{Eu}^{3+}$  的  $4f\rightarrow 4f$  高能级跃迁锐激谱线组成。位于 200~350 nm 紫外区的 2 个叠加的谱带,实际上是由 1 个位于短波紫外区(200~280 nm)的  $\text{Mo}^{6+}\text{-O}^2$  电荷迁移带(Charge Transfer band, CTB)和位于中波紫外区(250~350 nm)

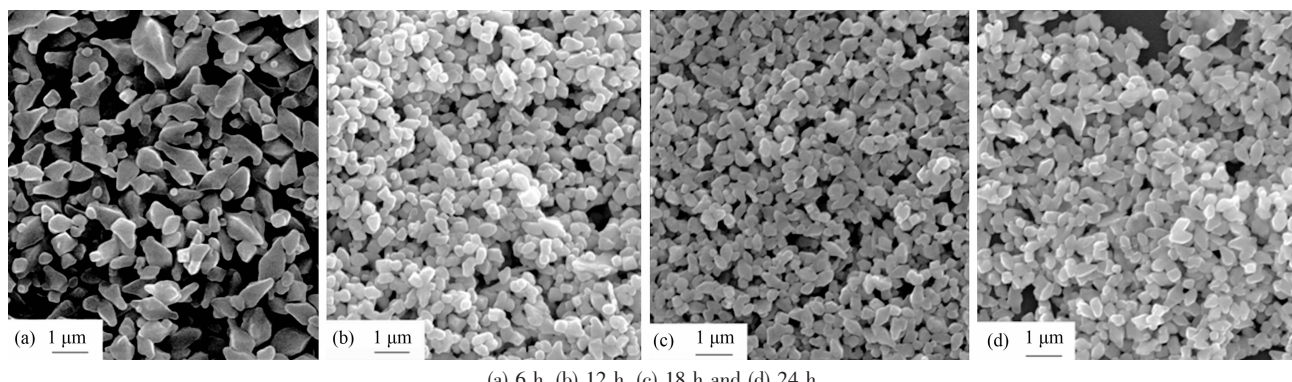
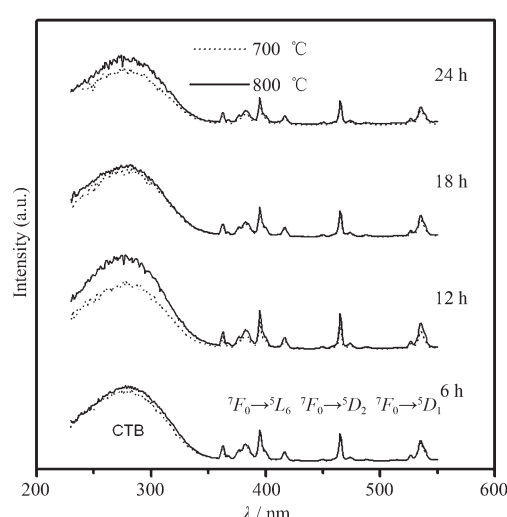


图2 水热反应不同时间经煅烧 800 ℃所得荧光体的扫描电镜照片

Fig.2 SEM micrographs of phosphors calcined at 800 °C with different hydrothermal durations

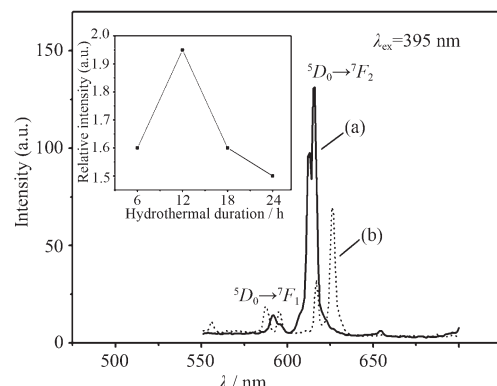
图3 不同水热反应时间及煅烧温度制备 $\text{NaEu}(\text{MoO}_4)_2$ 的激发光谱Fig.3 Excitation spectra of  $\text{NaEu}(\text{MoO}_4)_2$  with different hydrothermal durations and calcination temperatures ( $\lambda_{\text{em}}=615 \text{ nm}$ )

的 $\text{Eu}^{3+}\text{-O}^{2-}$ CTB所组成。位于长波紫外~可见光区(350~550 nm)的锐激发谱线归属于 $\text{Eu}^{3+}$ 的4f-4f特征高能级跃迁,其中 $^7F_0\rightarrow^5L_6$ (395 nm), $^7F_0\rightarrow^5D_2$ (465 nm)及 $^7F_0\rightarrow^5D_1$ (536 nm)3组谱线最强。由激发光谱还可以看出,在相同水热反应时间、提高煅烧温度,有助于样品荧光强度的提高;但随着水热反应时间的延长,煅烧温度的变化对样品的发光性能的影响逐渐减小。

在发光材料中,发光中心与晶格的耦合情况有黄昆因子S很大的强耦合(如 $\text{MoO}_4^{2-}$ 等基团)和S很小的弱耦合情况(如 $\text{Eu}^{3+}$ 等)<sup>[15]</sup>。在 $\text{NaEu}(\text{MoO}_4)_2$ 红色荧光粉样品中,强耦合的 $\text{MoO}_4^{2-}$ 基团的 $\text{Mo}^{6+}\text{-O}^{2-}$ 的CTB占主导地位,而弱耦合作用的 $\text{Eu}^{3+}$ 的CTB占次要地位,当激发 $\text{MoO}_4^{2-}$ 基团的 $\text{Mo}^{6+}\text{-O}^{2-}$ CTB时,其吸

收的能量通过有效地无辐射跃迁传递给 $\text{Eu}^{3+}$ ,产生 $\text{Eu}^{3+}$ 的 $^5D_0\rightarrow^7F_J(J=1,2)$ 跃迁红光发射。在发射光谱中(图4),样品的发射光谱特征相同,为 $\text{Eu}^{3+}$ 典型的特征发射。主发射峰位于615 nm附近,归属于 $^5D_0\rightarrow^7F_2$ 能级跃迁发射,而位于592 nm附近的弱发射峰归属于 $^5D_0\rightarrow^7F_1$ 跃迁。将不同水热反应时间所得前驱体经800 ℃煅烧所得样品与商用红粉的荧光强度进行对比(图4内插图),结果表明,在近紫外395 nm激发下所有样品的相对红光发射强度都高于商用红粉的荧光强度(设商用红粉的荧光强度为1),其中水热反应时间12 h的荧光最强,大约是商用红粉荧光强度的2倍。水热反应时间超过12 h后,样品的荧光强度逐渐下降,这可能与样品中出现一定的团聚现象有关。

另外还测量了水热反应12 h经过800 ℃煅烧后样品的荧光寿命。其荧光衰减曲线如图5所示,结

图4  $\text{NaEu}(\text{MoO}_4)_2$ 与商用红粉的发射光谱及相对发射强度对比图Fig.4 Emission spectra of  $\text{NaEu}(\text{MoO}_4)_2$  (a) and commercial phosphors (b), and relative red emission intensities (inset) with different hydrothermal durations

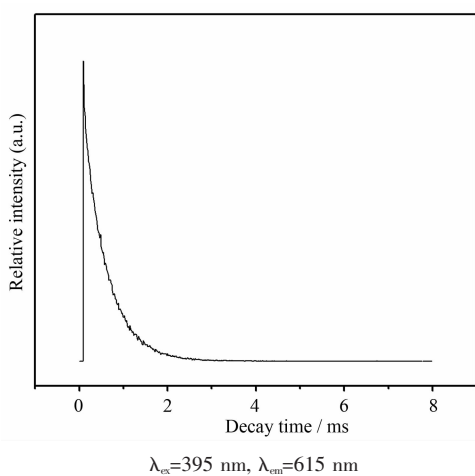


图 5  $\text{NaEu}(\text{MoO}_4)_2$  样品的荧光衰减曲线

Fig.5 Fluorescence decay curve of  $\text{NaEu}(\text{MoO}_4)_2$

果符合单指数衰减形式, 荧光寿命  $\tau$  为 0.620 ms。

### 3 结 论

采用水热法制备的  $\text{NaEu}(\text{MoO}_4)_2$  红色荧光粉样品形貌得到了良好的改善, 粒度分布均匀, 粒径范围在 0.25~0.3  $\mu\text{m}$  之间。激发光谱由  $\text{Mo}^{6+}\text{-O}^{2-}$  和  $\text{Eu}^{3+}\text{-O}^{2-}$  交叠的 2 个 CTB 以及  $\text{Eu}^{3+}$  的 4f 能级的激发跃迁所组成, 其中 395 nm ( ${}^7F_0 \rightarrow {}^5L_6$ ), 465 nm ( ${}^7F_0 \rightarrow {}^5D_2$ ) 及 535 nm ( ${}^7F_0 \rightarrow {}^5D_1$ ) 3 组激发谱线最强。在近紫外 395 nm 激发下, 位于 615 nm 附近的  ${}^5D_0 \rightarrow {}^7F_2$  跃迁红光发射最强。而样品优化比较看出, 水热反应 12 h 并经 800 °C 烧结所得样品的发射强度最高, 约为商用红粉的 2 倍。

### 参考文献:

- [1] Jia D, Hunter D N. *J. Appl. Phys.*, **2006**, **100**:113125(1)~113125(5)
- [2] Narukawa Y, Narita J, Sakamoto T, et al. *Phys. Stat.*, **2007**, **204**:2087~2093
- [3] LI Xue-Ming(黎学明), TAO Chuan-Yi(陶传义), KONG Ling-Feng(孔令峰), et al. *Chinese J. Inorg. Chem. (Wuji Huaxue Xuebao)*, **2007**, **23**(8):1409~1414
- [4] Wang Z L, Liang H B, Wang J, et al. *Appl. Phys. Lett.*, **2006**, **89**:071921 1~3
- [5] Shi S K, Liu X R, Gao J, et al. *Spectrochim. Acta, Part A*, **2008**, **69**:396~399
- [6] Sivakumar V, Varadaraju U V. *J. Electrochem. Soc.*, **2006**, **153**(3):H54~H57
- [7] Wang X X, Xian Y L, Shi J X, et al. *Mat. Sci. Eng. B*, **2007**, **140**:69~72
- [8] Liu J, Lian H Z, Shi C S. *Opt. Mater.*, **2007**, **29**:1591~1594
- [9] Kuzmicheva G M, Lis D A, Subbotin K A, et al. *J. Cryst. Growth*, **2005**, **275**:e1835~e1842
- [10] Nazarov M V, Tsukerblat B S, Popovici E J, et al. *Phys. Lett. A*, **2004**, **330**:291~298
- [11] Cludia A K, Hermi F B, Malta O L, et al. *J. Lumin.*, **2003**, **101**:11~21
- [12] Nazarov M V, Tsukerblat B S, Popovici E J, et al. *Solid State Commun.*, **2005**, **133**:203~208
- [13] Kim T, Kang S. *J. Lumin.*, **2007**, **122~123**:964~966
- [14] Shi S K, Gao J, Zhou J. *J. Electrochem. Soc.*, **2008**, **155**(7):H525~H528
- [15] Shionoya S, Yen W M. *Phosphor Handbook*. Boca Raton: CRC Press, **1998**.423